

DESCRIPCION DE *TRYDARSSUS*, NUEVO GENERO (ARANEAE, SALTICIDAE)

Description of *Trydarssus*, new genus (Araneae, Salticidae)

MARIA ELENA GALIANO*

RESUMEN

El nuevo género *Trydarssus* (Araneae, Salticidae) de Paraguay, Chile y Argentina, es descrito. Se establecen las nuevas combinaciones *Trydarssus pantherinus* y *T. nobilitatus* para *Phiale pantherina* Mello-Leitao, 1946 y *Attus nobilitatus* Nicolet, 1849. Ambas especies son redescritas y los machos se describen por primera vez. *Attus similis* Nicolet, 1849 es un nuevo sinónimo de *T. nobilitatus*.

ABSTRACT

Trydarssus new genus (Araneae, Salticidae) is described from Paraguay, Chile and Argentina. The new combinations *Trydarssus pantherinus* and *T. nobilitatus* are established for *Phiale pantherina* Mello-Leitao, 1946 and *Attus nobilitatus* Nicolet, 1849. Both species are redescrbed and the males are described for the first time. *Attus similis* Nicolet, 1849 is newly synonymized with *T. nobilitatus*.

KEYWORDS: Araneae. Salticidae. New genus. New combinations. New synonymy. Chile. Paraguay. Argentina.

INTRODUCCION

El presente trabajo es la continuación de una serie destinada a reclasificar especies erróneamente ubicadas en *Phiale* C. L. Koch, 1846. *Phiale pantherina* Mello-Leitao, 1946 se constituye en la especie tipo de *Trydarssus* n. gen., donde también se transfiriere *Attus nobilitatus* Nicolet, 1849 n. comb. Esta segunda especie ha permanecido desde su descripción como irreconocible (Roewer, 1954: 1427). Son numerosas las especies que están en esta situación, pues en

los siglos 18 y 19 las Salticidae se describían como *Attus* Walckenaer, 1805. Según Prószyński (1990: 56) el nombre se retiene "for those species we do not know yet where to classify". Afortunadamente, se han podido localizar en el MNHNP algunos de los ejemplares típicos de las especies de Nicolet (Ramírez, 1989), entre ellos los de *Attus nobilitatus* y *Attus similis*, que aquí se consideran sinónimos. La especie, que parece común en Chile, se ubica en *Trydarssus* n. gen. por su semejanza con *pantherina*, pese a ciertas diferencias en la genitalia.

*CONICET. Museo Argentino de Ciencias Naturales "Bernardino Rivadavia". Av. Angel Gallardo 470. 1405 Buenos Aires. Argentina.

MATERIAL Y METODOS

El formato de las descripciones sigue a Galiano (1963); la quetotaxia es según Platnick & Shadab (1975) con algunas modificaciones. Todas las medidas están en milímetros.

Abreviaturas: OLA, OMA, OMP y OLP: ojos laterales anteriores, medios anteriores, medios posteriores y laterales posteriores, respectivamente; RC región cefálica; RT región torácica; d dorsal, v ventral, p prolateral, r retrolateral; lbr lóbulo basal retrolateral; da división apical; e émbolo; la lamella; t tubérculo; es espermateca; cf conducto de fertilización; cc conducto de copulación; oc orificio de copulación; pg prolongación glandular; ba bolsillo de anclaje; dp depresión posterior; de depresión anterior.

Los especímenes estudiados pertenecen a las siguientes instituciones: Muséum National d'Histoire Naturelle, París (MNHN); Institut Royal des Sciences Naturelles de Belgique (IRSN); Museo de Zoología de la Universidad de Concepción, Chile (MZUC); Museo de La Plata, Argentina (MLP); Museo Argentino de Ciencias Naturales "Bernardino Rivadavia" (MACN).

RESULTADOS

Trydarsus n. gen.

Etimología: el nombre es una combinación arbitraria de letras, de género masculino.

Especie tipo: *Phiale pantherina* Mello-Leitao, 1946.

Diagnosis: Género próximo a *Phiale* C. L. Koch, 1846 y a *Aphirape* C. L. Koch, 1851, de los que se diferencia por las patas menos espinosas y el área ocular siempre más ancha atrás que adelante. De *Phiale* se distingue por tener dos apófisis tibiales retrolaterales en el palpo y los conductos de las espermatecas largos y delgados. Se diferencia de *Aphirape* por tener la división apical del tegulum netamente separada de la división media y el émbolo, de superficie espiculada, con una lamella membranosa anexa.

Descripción: Tamaño mediano (4,6-6,5mm) Prosoma más largo que ancho (ancho/largo 0,72-0,83); moderadamente alto (alto/largo 0,44-0,52), con lados levemente convexos. Declive torácico

suave comenzando en mitad posterior de RT. Estría torácica bien marcada, levemente por detrás del área ocular. Área ocular más ancha que larga (largo/ancho 0,60-0,64), ocupando 38 a 43% del largo del prosoma; hilera posterior siempre más ancha que la anterior. En ambos sexos, alto del clípeo aproximadamente un tercio del diámetro de OMA, con densa barba de pelos. Queléceros verticales, en los machos estriados transversalmente en cara anterior y algo excavados en la interna; en las hembras levemente prominentes en la base de cara anterior; promargen con dos dientes, retromargen con uno. Lámina maxilar del macho con ángulo externo saliente con un tubérculo romo. Esternón: borde anterior de igual ancho que la base del labio. Longitud relativa de patas: machos I-III-IV-II o I-II-III-IV; hembras III-IV-I-II; en ambos sexos las patas III más robustas que las IV. Quetotaxia más común (variaciones entre paréntesis): machos. Fémures I, II d 1-1-1, p 2 (II r 1); III d 1-1-1, p 2, r 1; IV d 1-1-1, p 2, r 1 (p 1). Patellas I, II p 1; III, IV p 1, r 1. Tibias I v 2-2-2, p 1-1; II v 1r-2-2 (v 2-2-2-2), p 1-1; III d 1 (d 0), v 1p-2, p 1-1-1, r 1-1-1; IV d 1 (d 0), v 1p-2, p 1-1-1, r 1-1-1. Metatarsos I, II v 2-2 (II p 1); III v 2-2, p 1-2, r 1-1-2; IV v 2-2, p 1-1-2, r 1-1-2. Hembras: Fémures I, II d 1-1-1, p 2 (II r 1); III d 1-1-1, p 1-2 (p 1, p 2), r 1; IV d 1-1-1, r 1 (p 1). Patellas III, IV p 1, r 1. Tibias I v 2-2-2, p 1-1 (p 1); II v 1r-1r-2, p 1-1; III, IV v 1p-2, p 1-1-1, r 1-1-1. Metatarsos I, II v 2-2; III v 2-2, p 1-2, r 1-1-2; IV v 2-2, p 1-1-2, r 1-1-2 (p 1-2). Palpo: tibia con dos apófisis, una dorso-retrolateral y otra retro-ventral, separadas por una profunda escotadura. Tegulum con un lóbulo basal retrolateral (Fig. 12); división apical con una tuberosidad retro-posterior (Fig. 15) y el émbolo delgado, de superficie espiculada, con una angosta lamella membranosa prolateral ventral y una pequeña prolongación cilíndrica, subapical (Figs. 12, 15, 17). Epigino: borde posterior con profunda escotadura, limitada a cada lado por un lóbulo membranoso. Algo por delante de cada lóbulo, un par de depresiones circulares, con reborde levemente esclerosado (Fig. 3 dp). mitad anterior con dos depresiones oblicuas desde atrás y afuera hacia adelante y adentro (Fig. 3 da), que terminan en profundos infundíbulos en cuyo fondo se abren los oficios de copulación (Fig. 4 oc). Borde del infundíbulo curvo y fuertemente esclerosado, continúa hacia atrás formando dos carenas paralelas, superpuestas al recorrido interno de los conductos de copulación. Por fuera de cada carena, un bolsillo de anclaje de fondo ciego, con borde recto y casi paralelo a las carenas (Fig. 4 ba). (Estos bolsillos

faltan en *T. nobilitatus*). Los conductos de copulación describen una curva de 45° y se dirigen hacia atrás, luego se curvan hacia afuera y terminan en las espermatecas globosas, con una prolongación externa, aparentemente glandular. Conductos de fertilización orientados hacia adelante (Fig. 5 cf).

Trydarsus pantherinus (Mello-Leitao, 1946) **n. comb.**
(Figs. 1, 3-6, 11, 12, 15-17)

Phiale pantherina Mello-Leitao, 1946: 28, f. 9 (Hembra Holotipus de Paraguay, Puerto Pinasco, col. Bulow, Nº17.049 en MLP, examinado); Roewer 1954: 1062; Galiano 1981: 13; Prószyński 1990: 268.

Diagnosis: Se diferencia de *T. nobilitatus* por la presencia de dos bolsillos de anclaje en el epigino, una apófisis tuberosa en la división apical de tegulum y una pequeña prolongación subapical en el émbolo.

Descripción del Holotipus hembra: Prosoma largo 2,65, ancho 1,96, alto 1,17. Clípeo, alto 0,17. Área ocular: largo 1,03, ancho de hilera anterior 1,57, de hilera posterior 1,69. Distancias OLA-OMP 0,20, OMP-OLP 0,31. Diámetro OMA 0,55. Epigino: (Fig. 6).

Color: Prosoma pardo claro con la RC más oscura. En RT, una banda longitudinal media de tegumento amarillo, cubierta por pelos blancos. Todo el prosoma con pelos blancos largos, delgados, acostados, regularmente espaciados. Opistosoma amarillo con manchas pardas cubiertas por pelos pardos. En el tercio apical, 4 bandas transversas en V invertida, con pelos blancos, separados por bandas pardas con pelos pardos. Vientre amarillo. Patas pardo claro.

Descripción de la hembra Nº 9332 MACN: Largo total 6,13. Prosoma largo 2,70, ancho 2,10, alto 1,20. Clípeo, alto 0,15. Área ocular: largo 1,10; ancho hilera anterior 1,58, hilera posterior 1,80. Distancias OLA-OMP 0,26; OMP-OLP 0,33. Diámetro OMA 0,51. Epigino: (Figs. 3-5).

Color: Prosoma pardo oscuro, con anchas bandas marginales pardo claro. Banda media longitudinal de tegumento claro con pelos blancos, desde el margen anterior hasta cerca del posterior. Desde cada OLA al OLP de su lado, una banda difusa de pelos blancos; entre éstas y la banda media, pelos pardo negrozco con reflejos rojizos. El resto del prosoma con pelos blancos sedosos, acostados, regularmente espaciados. Frente pardo claro, con densa barba de

pelos plumosos blancos acostados y largos pelos blancos delgados, dirigidos horizontalmente hacia adelante y un poco desde afuera hacia adentro. Pelos oculares dorsales blancos, ventrales, amarillentos. Quelíceros rojizos, algo prominentes en la base, con largos pelos blancos, semierectos, regularmente espaciados. Opistosoma pardo, con pequeñas manchitas amarillas; base bordeada por banda pardo claro con pelos blancos. Entre el segundo par de apodemas dorsales y el ápice, una serie de 5 bandas transversas en V invertida, de tegumento amarillo con pelos blancos, separadas por bandas pardas con pelos pardos. En la mitad apical de cada lado, dos bandas delgadas amarillas con pelos blancos, oblicuas hacia afuera y atrás (Fig. 1). Lados y vientre amarillos con manchitas pardas. Patas amarillentas con abundantes pelos blancos.

Variantes: en el prosoma, la banda media puede estar interrumpida en la mitad posterior de RC o faltar. En el opistosoma, las bandas en V pueden ser anchas y unirse por los vértices y a su vez, las bandas oblicuas laterales pueden unirse a los brazos de la primera y tercera bandas en V. Hay ejemplares más claros (como el holotipo) o más oscuros, según la extensión de las manchas pardas. Puede haber pelos rojizos mezclados con los pardos.

Nota: Entre las hembras estudiadas se observa una variación en el tamaño de los bolsillos de anclaje del epigino, que pueden ser relativamente pequeños, como en el holotipo (Fig. 6) o mayores (Figs. 3 y 4). Por el momento y mientras no se disponga de más ejemplares del Paraguay, se considera como variación intraespecífica.

Descripción del macho Nº9332 MACN: Largo total 5,33. Prosoma largo 2,70, ancho 2,08, alto 1,23. Clípeo, alto 0,13. Área ocular: largo 1,10; ancho de hilera anterior 1,57, de hilera posterior 1,80. Distancias OLA-OMP 0,28, OMP-OLP 0,35. Diámetro OMA 0,53. Palpos: figs. 11, 12, 15-17.

Color: Esencialmente como en las hembras, pero sin la banda media en RC; el resto del prosoma con pelos blancos espaciados, mezclados con algunos pelos pardos. Quelíceros pardo oscuro, con pelos pardos. Opistosoma muy oscuro, con bandas y manchas claras más reducidas que en las hembras. Patas pardo oscuro, con el tercio medio de cada artejo pardo claro y pelos blancos largos, delgados y semierectos, más abundantes en las patas anteriores y en cara inferior de fémures. En palpos, estos pelos forman una ancha banda dorsal en fémur y

son densos en dorso de patella, tibia y mitad basal de cymbium.

Material estudiado: (Depositado en MACN). ARGENTINA: Prov. de Corrientes: Manantiales, col. Apóstol y Tonina, nov. 1961. 1♀ N°9313; Prov. de Buenos Aires: Est. "El Tropezón". Entre Puán y Pigüé, col. Gallardo, Maury y Canevari, nov. 1969, 1♀ N°9318; Gral. Rodríguez, col. Capri, nov. 1964, 1♀ N°9319; Mar del Tuyú, col. M. Ramírez, mayo 1981, 1♀ N°9320; Sierra de la Ventana, Cerro Negro, col. Cesari, abril 1974, 1♂, 1♀ N°9321; col. Galiano, nov. 1962 1♀ N°9322; nov. 1970, 1♀ N°9323; oct. 1972, 2♀ N°9324; nov. 1974, 3♀ N°9325; oct. 1988, 1♂ N°9326. Prov. de Santa Fe, col. Crespo y Apóstol, marzo 1963, 1♂ N°9314. Prov. de Córdoba: Argüello, col. De Carlo, nov. 1943, 1♀ N°9327; Leones, col. Partridge, febr. 1966, 2♀ N°9328; Calamuchita, El Sauce, col. Viana, dic. 1940, 2♀ N°9329; Pampa de Achala, "El Cóndor", col. Galiano y Miranda, nov. 1983, 1♀ N°9330. Prov. de San Juan, Caucete, col. Maury, dic. 1979, 1♀ N°9331; col. Galiano y Miranda, oct. 1980, 15♀, 7♂ N°9332. Prov. de San Luis: Merlo, col. Galiano y Miranda, nov. 1984, 1♀, 1♂ N°9333; La Carolina, col. Scioscia, nov. 1992, 1♀ N°9334. Prov. de Catamarca: Andalgalá, col. Enders, nov. 1972, 2♀, 1♂ N°9335. Prov. de La Rioja: Chilecito, col. Galiano, enero 1956, 1♂ N°9316. Prov. de La Pampa, col. Pallares, abril 1962, 1♀ N°9336; Lihuel Calel, col. Maury, nov. 1975, 1♀ N°9337. Prov. de Río Negro: Gral. Roca, Paso Córdoba, col. Bachmann, marzo 1959, 1♀ N°9317. Prov. de Chubut, Puerto Madryn, col. Scioscia, oct. 1985, 4♀, 1♂ N°9315.

Trydarsus nobilitatus (Nicolet, 1849) **n. comb.**
(Figs. 2, 7-10, 13, 14, 18, 19).

Attus nobilitatus Nicolet, 1849: 370 (lote de 3 hembras sintipos de Chile, Valdivia, col. Gay, determinados por E. Simon (*in schedula*) como *Plexippus similis*, en MNHNP, examinados); Petrunkevitch, 1911: 600; Roewer, 1954: 1427; Bonnet, 1955: 803; Prószyński, 1990: 60.

Attus similis Nicolet, 1849: 372, pl.3, f.1 (1 hembra holotipo, de Chile, sin localidad especificada, determinada por E. Simon (*in schedula*) como *Plexippus rusticanus*, en MNHNP, examinado); Petrunkevitch, 1911: 602; Roewer, 1954: 1430; Bonnet, 1955: 807; Prószyński, 1990: 62. (NUEVA SINONIMIA).

Descripción del Lectotypus hembra (aquí designado): Prosoma largo: 2,37; ancho 1,87, alto 1,03. Clípeo, alto 0,12. Área ocular: largo 0,98; ancho de hilera anterior 1,47, de hilera posterior 1,57. Distancias OLA-OMP 0,22, OMP-OLP 0,27. Diámetro OMA 0,50. Epigino: algo deformado por la fijación (Fig. 9).

Color: Las tres hembras típicas están muy descoloridas. En una de ellas se puede ver aún la banda clara longitudinal desde prosoma a opistosoma, así como las bandas marginales amarillas con pelos blancos del prosoma. La publicación original describe un prosoma de color negro, en RC una banda longitudinal media y dos laterales con pelos blancos bordeados por líneas delgadas de pelos rojo fuego (variante: líneas amarillo anaranjado vivo). El opistosoma, según Nicolet, es amarillo verdoso, con una banda media longitudinal de pelos blanco brillante, bordeada por pelos negros. Los costados son pardos, punteados de negro y cubiertos por pelos blancos: vientre pardo uniforme.

Descripción de la hembra N°9339 MACN: Largo total 6,40. Prosoma largo 2,73; ancho 2,07; alto 1,33. Clípeo, alto 0,18. Área ocular: largo 1,07; ancho de hilera anterior 1,67, de hilera posterior 1,77. Distancias OLA-OMP 0,27, OMP-OLP 0,33. Diámetro OMA 0,50. Epigino: Figs. 7, 8, 10.

Color: Prosoma pardo oscuro, con anchas bandas marginales pardo claro. Banda media longitudinal de pelos blancos, desde el margen anterior de RC hasta el margen posterior de RT, ampliándose algo sobre la estría. Desde cada OLA al OLP de su lado, una banda de pelos blancos poco densos. Entre estas bandas laterales y la media, bandas de pelos pardo oscuro, con reflejos rojizos. El resto del prosoma, cubierto por pelos blancos, poco densos. Frente pardo claro. Barba del clípeo como en *T. pantherinus*. Opistosoma pardo muy oscuro, con banda media longitudinal de tegumento amarillo, cubierta por pelos blancos, bordeada de cada lado por una angosta línea de pelos rojizos; áreas laterales del dorso con pelos blancos (Fig. 2). Lados del opistosoma pardo amarillento con manchitas pardas. Quelíceros pardo rojizo, con largos pelos blancos, abundantes. Patas pardo claro; las posteriores con los extremos de los artejos más oscuros, con abundantes y largos pelos blancos, semierectos.

Variantes: Algunos ejemplares tienen pocos pelos anaranjados mezclados con blancos, en RT. En una hembra se observó que la banda media del opistosoma se fracciona al llegar al tercio apical,

formando dos o tres pequeñas banditas transversas en V invertida. Las patas pueden ser pardo oscuro.

Descripción del macho N°9339 MACN: Largo total 6,20. Prosoma largo: 2,73; ancho 2,27; alto 1,40. Clípeo, alto 0,16. Área ocular, largo 1,17; ancho de hilera anterior 1,70, de hilera posterior 1,85. Distancias OLA-OMP 0,27, OMP-OLP 0,33. Diámetro OMA 0,52. Palpo: división apical del tegulum globosa, apenas separada del émbolo por un tenue pliegue (Figs. 14 y 18); émbolo con superficie espiculada y lamella membranosa (Fig. 19).

Color: Prosoma pardo oscuro, con RC negruzca; banda media longitudinal de tegumento claro, cubierta por pelos blancos, desde la estría torácica hasta el margen posterior. El resto del dorso del prosoma cubierto por pelos pardos con reflejos rojizos, salvo escasos pelos blancos en el margen anterior y delante de los OLP. No hay bandas marginales claras. Frente pardo claro, con pelos oculares rojizos y barba como el género. Opistosoma pardo muy oscuro, con pequeñas manchitas claras. Banda media longitudinal de tegumento amarillo, cubierta por pelos blancos, que se adelgaza en el tercio apical donde forma tres pares de pequeñas dilataciones laterales. Lados del opistosoma y vientre, amarillentos con manchitas pardas. Queléceros pardo oscuro con pelos pardos espaciados en la cara anterior. Esternón pardo, con margen negruzco. Patas pardas, las anteriores más oscuras, con abun-

dantes pelos blancos, especialmente en cara inferior de fémures.

Variantes: En RC, banda media muy angosta o inexistente. En opistosoma, manchas pardo claro o amarillento de las áreas laterales del dorso, grandes, y color general más claro. En otros machos, banda media del opistosoma fragmentada en el tercio apical, formando de tres a cinco bandas transversas con V invertida, con pelos blancos, separadas por bandas de pelos pardos. Las patas pueden tener las caras laterales del extremo de los artejos, más oscuras.

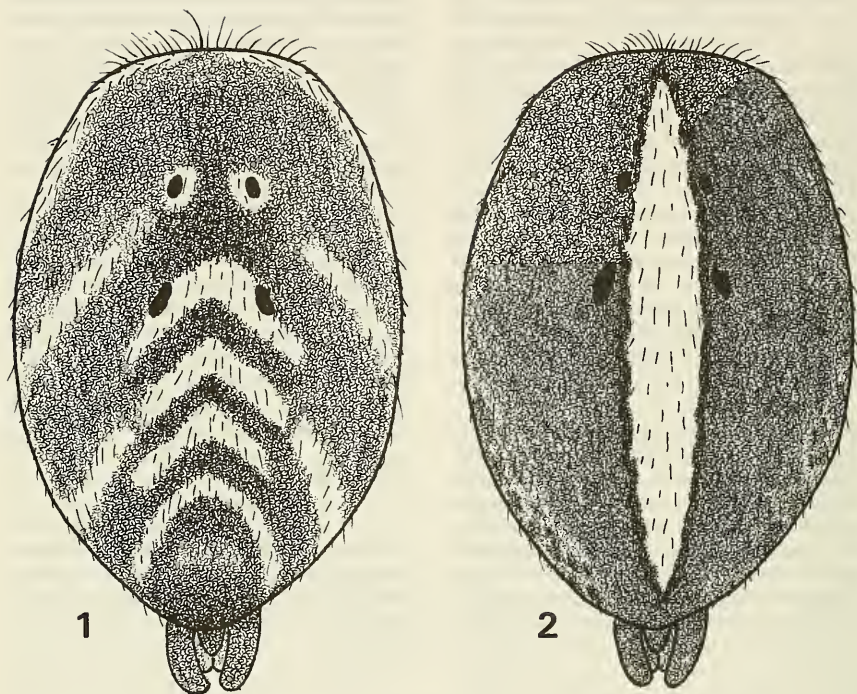
Material estudiado: CHILE: Región V, Los Andes, Juncal; col. P. Goloboff, 6 enero 1984 1♀ N°9338 (MACN); Prov. Ñuble, Las Cabras, col. L. Peña, enero 1963, 2♂, 2 pulli, (I. G. 23.077 IRSN); Región VIII, Prov. Valdivia, Piscicultura Río Blanco, col. L. Peña 17-20 oct. 1958, (I. G. 21.894 IRSN) 1♂, 1♀ N°9339 (MACN); Santiago, col. L. Peña, 1♀ (I. G. 19.736 IRSN); Pemehue, col. L. Peña 1♀ (I. G. 19.736 IRSN); Planicie E, Embalse El Yeso, 1 marzo 1974, 1♀ (MZUC).

AGRADECIMIENTOS

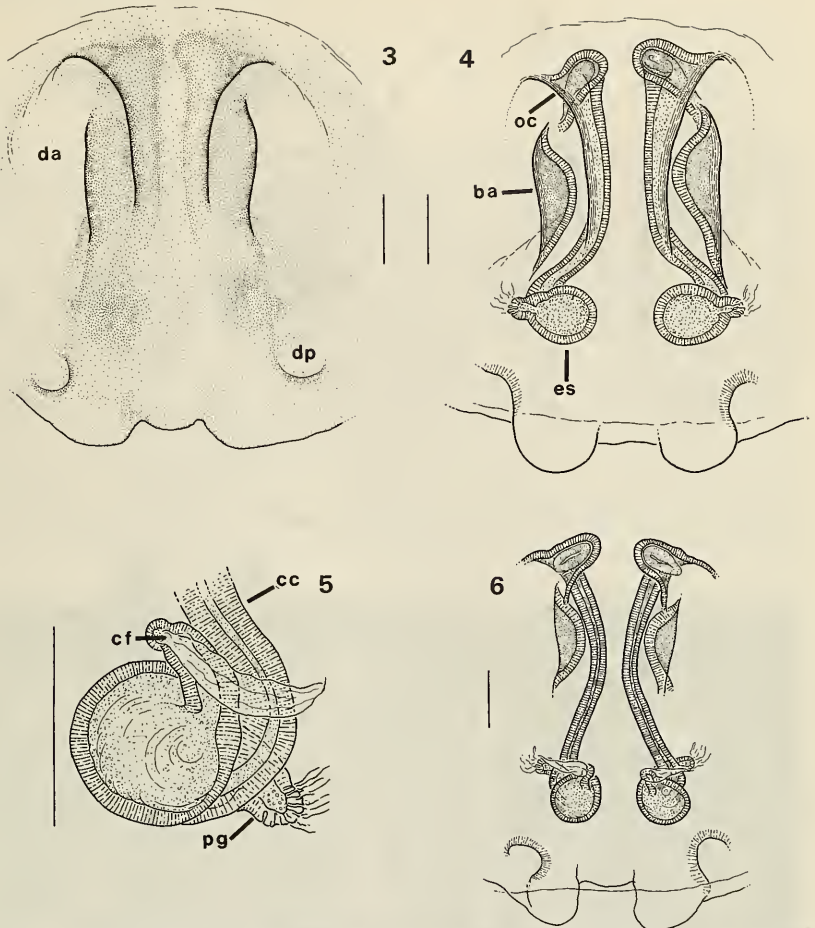
Expreso mi agradecimiento por el préstamo del material estudiado, a las siguientes personas: Mme. C. Rollard, Dr. L. Baert, Dr. T. Cekalovick y Lic. R. Atrozpide.

BIBLIOGRAFIA

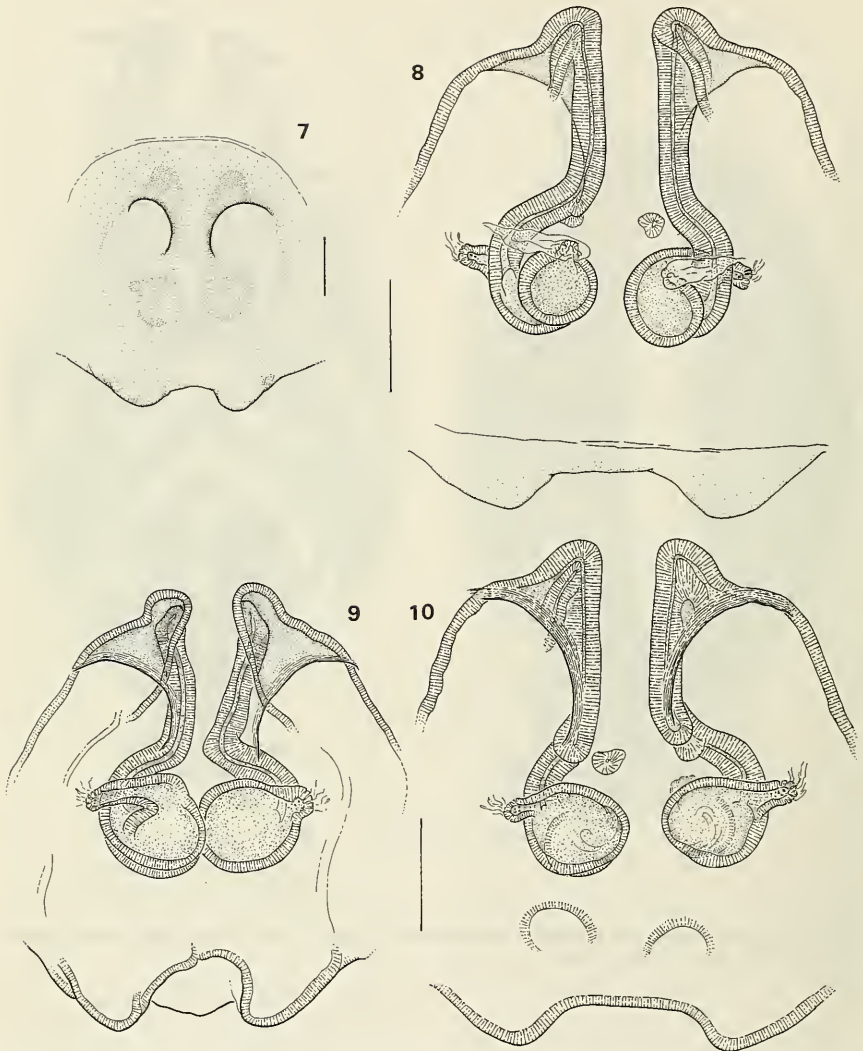
- Bonnet, P. 1955. Bibliografía Araneorum 2: 1-918. Toulouse.
- Galiano, M. E. 1963. Las especies americanas de arañas de la familia Salticidae descritas por Eugene Simon. Redescripción de los ejemplares típicos. Physis, B. Aires 23(66): 273-470.
- Galiano, M. E. 1981. Catálogo de los especímenes típicos de Salticidae (Araneae) descriptos por Cándido F. de Mello-Leitao. Segunda parte. Physis, B. Aires Sec. C 39(97): 11-17.
- Mello-Leitao, C. 1946. Arañas del Paraguay. Notas del Museo de La Plata, Zool. 11(91): 17-50.
- Nicolet, H. 1849. Arácnidos: 319-543. In Gay, C. Historia Física y Política de Chile. Zoología 3, 547 págs.
- Petrunkévitch, A. 1911. A Synonymic index-catalogue of spiders of North, Central and South America with all adjacent Islands, Greenland, West Indies, Terra del Fuego, Galapagos, etc. Bull. Am. Mus. nat. Hist. 29: 1-790.
- Platnick, N. I. y M. U. Shadab. 1975. A revision of the spider genus *Gnaphosa* (Araneae, Gnaphosidae) in America. Bull. Am. Mus. nat. Hist. 155(1): 1-66.
- Prószyński, J. 1990. Catalogue of Salticidae (Araneae): Synthesis of quotations in the world literature since 1940, with basic taxonomic data since 1758. Wyzsza Szkoła Rolniczo-Pedagogiczna W. Siedlecech, 366 pp.
- Ramírez, M. 1989. Lista de los tipos de Araneae descriptos por Nicolet depositados en el MNHN. Arachnología 6: 7-10.
- Roewer, C. F. 1954. Katalog der Araneae von 1758 bis 1940, bzw 1954. 2b: 925-1751. Brussels.



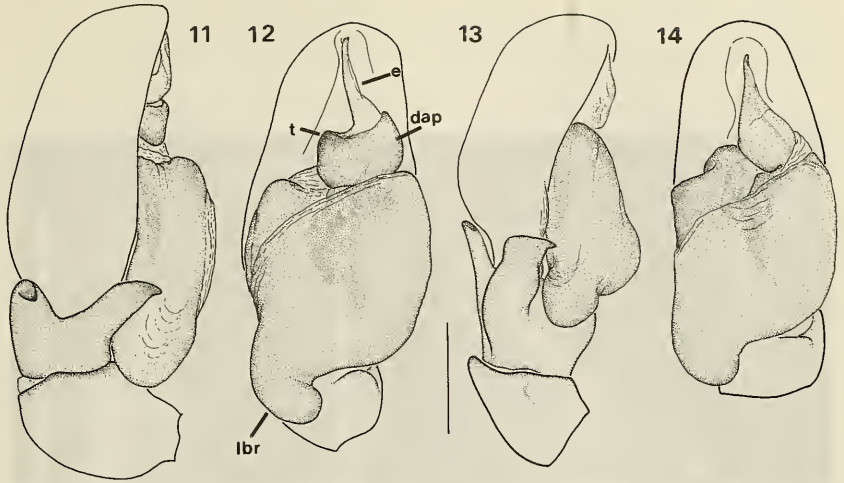
FIGURAS. 1 y 2. Dorso del opistosoma, hembras. 1, *T. pantherinus*; 2, *T. nobilitatus*. (Esquemático).



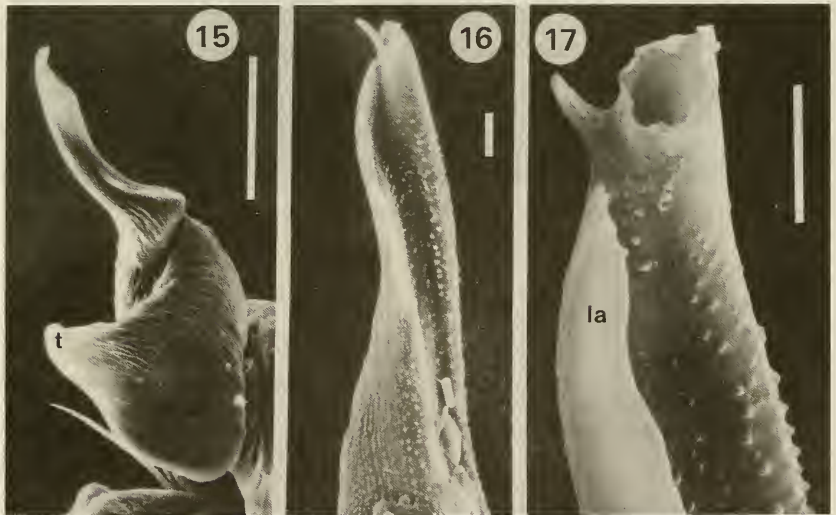
FIGURAS 3-6. *T. pantherinus*. Epiginos. 3, (ejemplar de San Juan), ventral; 4, el mismo, clarificado; 5, espermateca, dorsal; 6, ejemplar Holotipus, clarificado, dorsal. Escala 100 μ m.



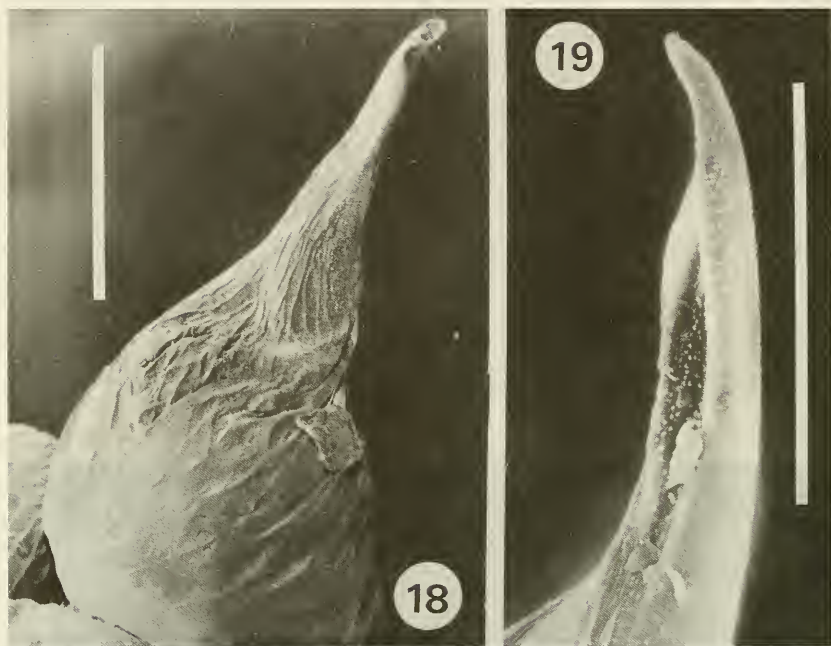
FIGURAS 7-10. *T. nobilitatus*. Epiginos. 7, (ejemplar de Valdivia) ventral; 8, el mismo, clarificado, dorsal; 10 ventral; 9, ejemplar Lectotypus, ventral. Escala 100 μ m.



FIGURAS 11-14. Palpos. *T. pantherinus*, 11, retrolateral; 12, ventral. *T. nobilitatus*, 13, retrolateral; 14, ventral. Escala 0,25 mm.



FIGURAS 15-17. *T. pantherinus* (ejemplar de San Juan), 15, división apical del tegulum, vista retrolateral posterior; 16, émbolo, prolateral; 17, extremo apical del émbolo, vista ántero-posterior. Escalas: 15, 100 μ m; 16 y 17, 10 μ m.



FIGURAS 18-19. *T. nobilitatus* (macho de Valdivia), 18, división apical del tegulum; 19, émbolo, vista prolateral. Escala 100 μ m.